

電磁界鋳型による鋼の連続鋳造片表面性状の改善

中田 等*・小北 雅彦*・森下 雅史*・綾田 研三*・蝦名 清*

Improvement of Surface Quality of Continuously Cast Steel by Electromagnetic Mold

Hitoshi NAKATA, Masahiko KOKITA, Masafumi MORISHITA, Kenzo AYATA and Kiyoshi EBINA

Synopsis : In order to improve surface quality of continuously cast steel, the investigation applying alternating magnetic field on initial solidification shell was carried out. The capacity of electric generator is 200kW, and frequency is 20kHz. Mold size is 150mm and 180mm square, and the upper part of mold is divided into 28 segments and surrounded with coil.

0.12% carbon steel which has high crack sensitivity, was cast to verify the effect of alternating magnetic field on the billet surface quality. Casting speed ranges from 0.4 to 1.3m/min. At the casting, a mold flux was used.

Surface roughness caused by mold oscillation and meniscus fluctuation can be remarkably decreased by applying optimum magnetic flux density distribution. In case of no magnetic field, average surface roughness caused mainly by mold oscillation is about 600 to 700 μm and the deepest one reaches to 1300 μm .

However, when the electric power of 150kW is applied, the average roughness can be improved less than 300 μm . When too much power is applied, the surface roughness worsens. It can be also cleared that there must be an optimum condition of the distance between coil and meniscus. The relation between the coil and meniscus position is an important factor to realize a soft contact situation between the solidified shell and mold.

Shell formation in the electromagnetic mold was also examined.

Key words : electromagnetic force ; continuous casting ; oscillation mark ; surface crack ; shell formation.

1. 緒言

近年、鋳片の完全無手入れ化、高速化を実現する手段として、アルミニウムの連続で実用化されている電磁界鋳造技術を鋼の連続に適用するために、多くの研究がなされている^{1)~4)}。

アルミニウムの連続で実用化されている高周波磁場を用いた電磁界鋳造技術^{5)~7)}は鋳型と鋳片表面の接触を断つか、もしくは弱めることにより鋳片表面性状の大幅な改善を可能としている。いっぽう鋼の鋳造に本技術を適用する場合には、その物性値、生産性の違いにより、電磁力で完全に保持して鋳造することは困難であるため、やはりアルミニウム連続で用いられているCREM法⁸⁾と呼ばれる電磁界鋳型と通常の銅鋳型との組み合わせ方式が適していると見られる。本方式は商用周波数を用いた鋼の鋳造実験によって鋳片表面粗度の改善に十分な効果が得られることが報告されている²⁾。しかしながらメニスカスの不安定性に起因するパウダー巻き込みの懸念があり、また初期凝固殻への加熱効果もあり期待できない。

鋼の電磁界鋳造の狙いは初期凝固殻の生成、および変形に大きな影響をおよぼすメニスカス部溶鋼の高温化、初期凝固殻に作用する圧力分布やパウダーリー入流状態の改善、さらにはメニスカスの変動防止などであり、初期凝固状態を

改善することにより、鋳片表面欠陥が改善されると期待される。本研究では鋳片表面部に磁場を集中化させやすく、かつ初期凝固殻生成に多大な影響をおよぼすメニスカスの安定性に関して効果の大きい高周波磁場および、スリット付きの鋳型を用いた電磁界鋳造法の開発をめざした。

本報では鋼と溶湯密度のほぼ等しい錫を用いた溶湯の形状保持テスト、鋳造テストから、電磁鋳造技術を鋼に適用するための基礎データを得、この結果をもとに鋼用電磁界鋳型を設計し、鋼の連続鋳造を行った結果について報告する。

2. 鋼の電磁界鋳造のための磁場周波数の決定

錫のオフライン実験で判明したようにメニスカスの安定性を確保するためには鋳片サイズと磁場周波数の決定が非常に重要となる⁹⁾。電磁気力は圧力項と回転項に分解でき両者の比である磁気Womersley数 $\frac{L}{\delta}$ (δ : 磁場表皮深さ, L: 代表長さ)が大きくなるほど流動を引き起こす回転項が小さくなりメニスカスが安定すると報告されている¹⁰⁾。

錫オフライン実験で120mmφルツボで5kHz以上で界面が安定すると予測された。この場合の磁気Womersley数から150mm角の鋼を鋳造するとして周波数を決定すると9kHzとなるため、電源周波数は余裕をみて20kHzに選定した。

平成6年2月15日受付 平成6年5月13日受理 (Received on Feb. 15, 1994; Accepted on May 13, 1994)

* (株)神戸製鋼所鉄鋼技術研究所 (Iron & Steel Research Laboratories, Kobe Steel, Ltd., 2222-1 Ikeda Onoe-cho Kakogawa 675)

Table 1. Properties and characteristic parameters of molten Tin and Steel.

Item	Sn	Fe
Characteristic length (m)	0.12	0.15
Electric conductivity ($\Omega^{-1}m^{-1}$)	1.95×10^6	0.7×10^6
Frequency (Hz)	5000	9000
Magnetic Womersley number	24	24

た。計算に用いた物性値をTable 1に示す。

3. 実験方法および铸造条件

铸造に用いた試験連続铸造機をFig. 1に示す。また铸造条件についてはTable 2に示す。電磁界铸型は28分割のコールドクルーシブルタイプの铸型であり、下部の通常の冷却水が上部のスリット部にも流れる構造となっている¹¹⁾。

上部には5ターンで100mm高さ、または4ターンで40mm

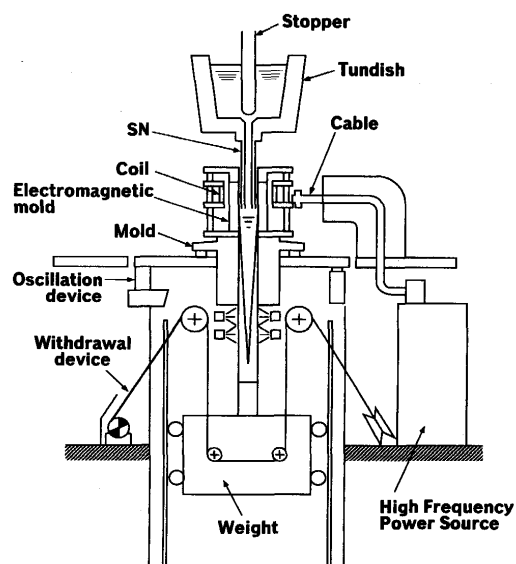
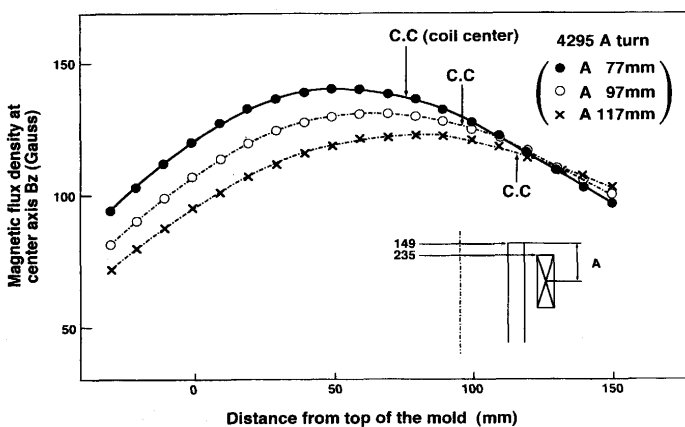


Fig. 1. Block diagram of continuous casting test machine.



(a) Magnetic flux density along the center axis.

inner size of mold : 149mm
inner size of coil : 235mm

Fig. 3. Magnetic flux density distribution in electromagnetic mold.

Table 2. Casting conditions.

Steel grade	: 0.12% C
Billet size	: 150mm, 180mm square
Casting speed	: 0.4~1.3m/min
Mold oscillation	: 1~3Hz stroke 6~10mm
Electric generator	: 20kHz, max 200kW

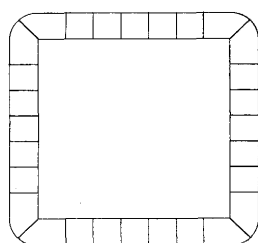


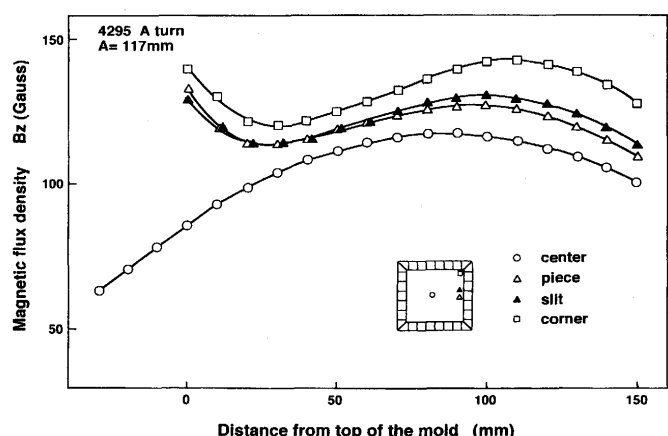
Fig. 2. Top view of divided mold for steel.

高さのコイルが設置されている。Fig. 2に分割铸型を上部から見た図を示す。電源周波数は20kHzであり、電源容量は最大200kWである。ビレットサイズは150mm角、および180mm角であり铸造速度は0.4m/minから1.3m/minまで実験を行った。铸造鋼種は铸造時に表面性状が悪化しやすい0.12%Cの亜包晶鋼の铸造を主として行い、潤滑剤としてフラックスを使用し、铸型振動を行った。

4. 分割铸型内磁場分布

Fig. 3 (a)に铸型上端からコイル中心までの距離(A)を変化させた時の軸芯部の磁束密度のZ方向成分Bzをサーチコイルを用いて測定した結果を示す。磁束密度の最大点はコイル中心より少し上部にずれ、またコイル位置が下がるにつれて磁束密度の最大値は小さくなっていることがわかる。これは分割铸型の存在によるものと考えられる。

Fig. 3 (b)には分割铸型の各部でのBzの測定結果を示す。磁束密度はピース中央、スリット部、コーナー部の順に強



(b) Magnetic flux density at various points in the mold.

くなっていることがわかる。

5. 鋼の鋳造実験結果および考察

5・1 鋳片表面と電源出力の関係

Fig. 4 に鋳型振動が $1\text{Hz} \times 10\text{mm}$ の場合の電磁力を印加しない場合と 154kW の電磁力を印加した場合の鋳片表面性状を示す。なおコイル中心は静止メニスカス位置より 57mm 下とした。

電磁力を印加していない鋳片には鋳型振動に対応した周期的な深いオシレーションマークが認められるのに対し、電磁力を印加した鋳片の表面肌は平滑となり、大幅な改善効果が認められる。

Fig. 5 に同一のコイル配置でコイル電流を変化させた時のピース中央部の鋳片表面粗度を形状測定装置を用いて測定した結果を示す。電磁力を印加しない場合は平均表面粗度が $600\sim700\mu\text{m}$ 、また深いものでは $1300\mu\text{m}$ もの凹みが認められるのに対し、鋳造速度が $0.7\text{m}/\text{min}$ の場合、 150kW 以上の電磁力を印加すると表面粗度の平均値は $100\sim300\mu\text{m}$ まで

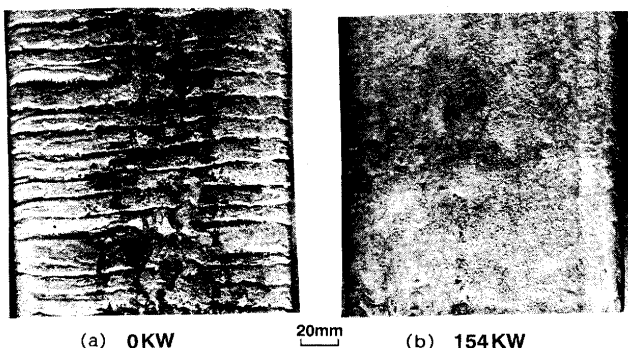


Fig. 4. Surface appearance of cast billet.
(casting speed: $0.7\text{m}/\text{min}$, mold oscillation:
 $1.0\text{Hz} \times 10\text{mm}$, 0.12% C-steel)

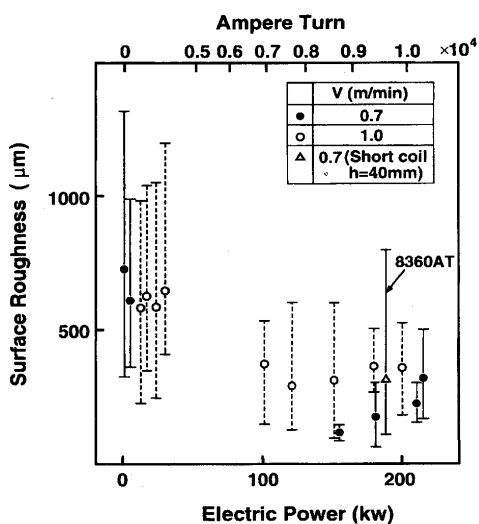


Fig. 5. Influence of the electric power on the surface roughness of cast steel.

改善される。また印加電力が大きすぎると鋳片表面粗度が逆に少し悪化する傾向にある。これは一つには溶鋼内部に誘導される電磁力が大きくなる結果、内部流動が大きくなり、湯面変動が生じるためと考えられる。また後で説明するようにメニスカスと鋳型との接点が変化することによって初期凝固殻に作用する磁気圧分布が変化するためであるとも考えられる。

鋳造速度が $1.0\text{m}/\text{min}$ の場合の電磁界鋳造時の鋳片表面粗度は $0.7\text{m}/\text{min}$ の場合よりも悪くなっている。この場合、 0kW でのオシレーションマーク深さをそろえるため通常の高速鋳造の場合とは異なり、ネガティブ時間一定の条件で鋳造を行っている。したがって上記の原因は鋳造速度が増加したために凝固殻が薄くなり、パウダーフィルムも薄くなるため、鋳型振動の影響で初期凝固殻が変形しやすくなつたため、表面粗度の改善効果が低減したと考えられる。また分割鋳型スリット部のオシレーションマーク深さはピース中央部の深さに比べ、若干深くなっている。

5・2 コイル位置と鋳片表面粗度の関係

Fig. 6 にコイル位置を変化させた時の鋳片表面性状を示す。(a) はコイル位置が高く(コイル中心から静止メニスカスまでの距離 17mm) 電力が 180kW の場合、(b) はコイル位置が低く、(コイル中心から静止メニスカスまでの距離 57mm) 電力が 150kW の場合である。この結果よりコイル位置が低く、電力が小さい後者の場合のほうが鋳片表面性状は改善されていることがわかる。

ここで、印加電力を両者で変えた理由は後で述べる接触圧力の差を明瞭にするためである。また Fig. 5 より電源出力が 120kW 以上ではコイル位置が同じであれば表面粗度はあまり変化しないがコイル位置を変化させてメニスカスとコイル中心の距離を接近させると表面粗度が悪くなることがわかった。

次に Fig. 6 に示す両者の場合について初期凝固殻に作用する圧力を計算を行った。磁場解析と表面形状の計算はたがいに連成させ、収束計算を行うことにより圧力を求めた。計算は簡単のため 2 次元モデルを用い¹²⁾、分割鋳型の存在は無視した。また自由表面の計算には溶鋼流動および表面張力項は無視した。実験には 20kHz の高周波磁場を使用しておりビレットサイズが大きいため、内部流動が生じにくく、自由表面形状にあまり影響を与えないことからこの仮定は妥当であると考えられる。両者の盛り上がり高さの計算値は各々 25mm と 12mm となり、オフラインでの錫溶解時におけるメニスカス形状によく一致している。このため初期凝固殻に作用する磁気圧を上記手法を用いて計算しても妥当であると考えられる¹²⁾。

Fig. 7 に静圧から磁気圧を引いた初期凝固殻に作用する全圧を示す。図中、実線 A はコイル位置が高く電力が 180kW の場合、破線 B はコイル位置が低く、電力が 154kW の場合の全圧を示す。初期凝固殻に作用する全圧は B の場合の方

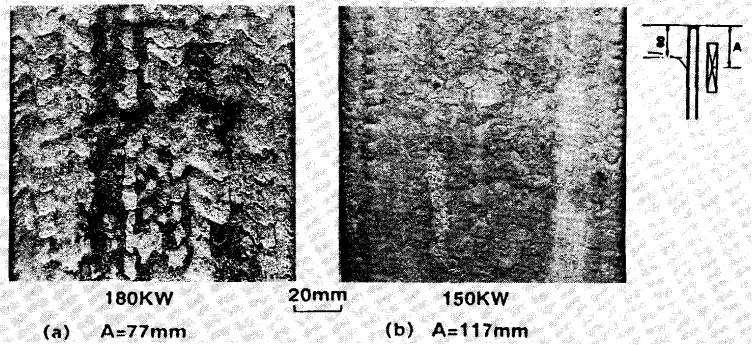


Fig. 6. Surface appearance of cast billet.
(casting speed: 0.7m/min, mold oscillation: 1.0Hz×10mm, 0.12%C-steel A: Distance from mold top to coil center)

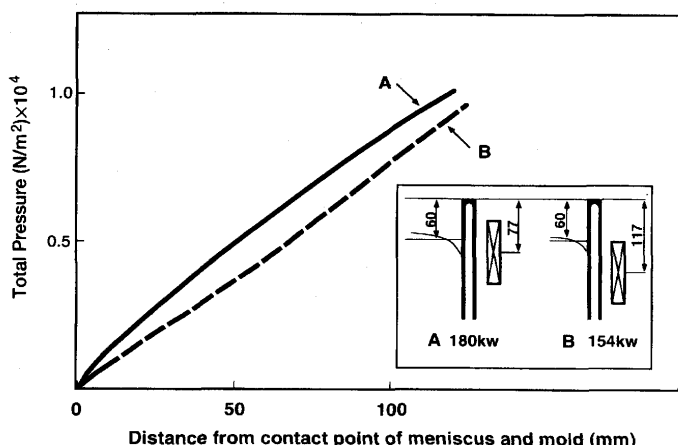


Fig. 7. Pressure distribution along solidified shell.

がAに比較して小さく、初期凝固殻の軟接触化が達成されており、鋳片表面性状の改善が期待できる。

分割銅鋳型を用いた高周波磁場による電磁界鋳造における表面品質の改善効果について磁気圧、加熱のいずれの効果が支配的であるかを調査するために高さの低いコイル(40mm)を用い、静止メニスカス位置とコイル中心までの距離を30mmとし、鋳造実験を行った。この場合、初期凝固部に集中的に磁場が印加することになるので加熱効果も大きいと考えられる。事実、磁場印加中の溶鋼温度は5°C程度の上昇を示し、通常の電磁界鋳造時の溶鋼温度の上昇値の2~3°Cより大きな値を示した。Fig. 5中にこの実験条件の表面粗度をあわせて示すが、顕著な改善効果は認められない。

以上の結果より鋳片表面性状の改善には初期凝固殻に作

用する磁気圧分布が重要であり、コイル位置とメニスカス位置との関係が大きく影響すると考えられる。

5・3 電磁界鋳型内での凝固殻生成状況

電磁界鋳造において鋳型メニスカス部に金を添加すると同時に鋳造および注入を停止した後、放射化法によって初期凝固殻の生成状況を調査した。Fig. 8に鋳造速度が0.7m/minで電磁場を印加した場合としなかった場合の凝固殻の生成状況を示す。白色の部分が金添加時に液相であった部分で灰色の部分が凝固殻である。電磁力を印加した場合は凝固開始点の上部に液相の部分が存在し、これが電磁力により保持されていた溶鋼部分と見られる。いっぽう電磁力を印加しなかった場合の鋳片の凝固開始点の上部には溶鋼は存在せず、凝固はメニスカス部より開始していることがわかる。また凝固初期のシェル厚は電磁力を印加した場合のほうが薄くなっている。Fig. 9に電磁力を変化させた時の0.12%C鋼の初期凝固殻の生成状況を示す。150kWと180kWで逆転は認められるものの、電磁力が増加するにしたがって凝固殻は薄くなる傾向にあることがわかる。これは一つには電磁場による発熱効果による溶鋼温度の上昇、二つ目には電磁力により生じる流動により凝固が抑制されたためであると考えられる。

また3秒後にはシェル厚の差は少なくなっており、鋳型内の凝固定数は電磁場を印加した場合としない場合ともほぼ等しく、凝固定数は20.8mm/(min)^{1/2}となり、時間が経過すればシェル厚はほぼ同じになることがわかった。

また、電磁界鋳造ではマクロ的に見た熱フローはFig. 10の右図に示したようになり、定常状態では以下の式が成立す

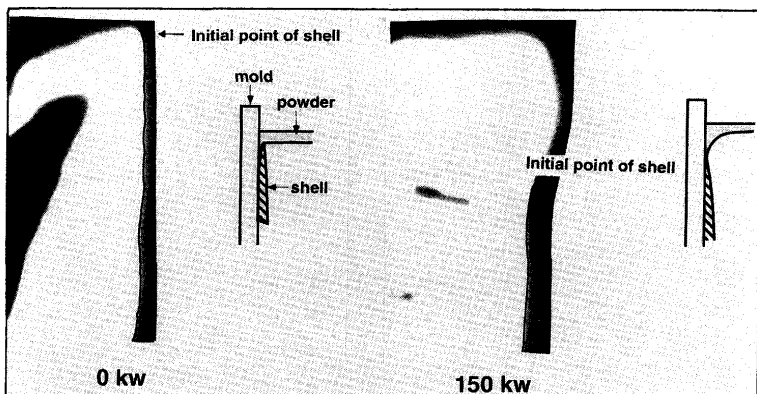


Fig. 8. Solidified shell formation near meniscus.
(casting speed: 0.7m/min, mold oscillation: 1.0Hz×10mm, 0.12%C-steel)

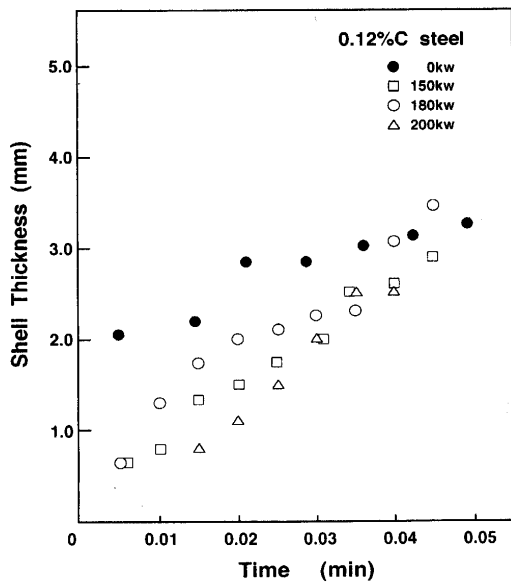


Fig. 9. Shell thickness at the initial stage of solidification.

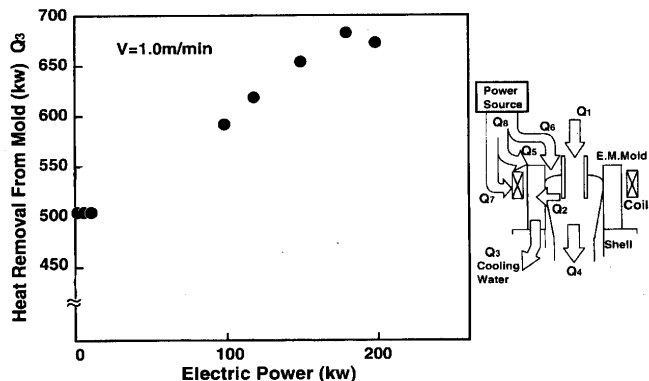


Fig. 10. Relation between electric power and heat removal from mold.

る。

$$Q_3 = Q_2 + Q_5 \quad \dots \dots \dots (1)$$

$$Q_1 - Q_4 = Q_2 - Q_6 \quad \dots \dots \dots (2)$$

Q_3 は Fig.10 に示すように印加電力が増加するにつれて増大することがわかる。 Q_3 は実測によって求められているため (1), (2) 式より溶鋼からの抜熱量 ($Q_1 - Q_4 = Q_2 - Q_6$) を知るために Q_5, Q_6 の値を知る必要がある。電磁界鋳型内にステンレスのダミーチャージを挿入して測定したオフライン実験より Q_5, Q_6 の Q_8 に対する分配比率を決定し、これらの値より溶鋼からの抜熱量 ($Q_1 - Q_4$) を算出した。この結果を Fig.11 に示す。電磁界鋳型内の溶鋼からの抜熱量の算出値が、電力の印加によってほとんど変化せずほぼ一定の抜熱量を示すことがわかる。この結果はマクロ的に見た凝固定数が電磁力の印加いかんにかかわらずあまり変化しないという事実と一致する。

5・4 初期凝固殻の不均一度

Fig.12 にはメニスカスより下部 100mm の凝固殻内面の凝

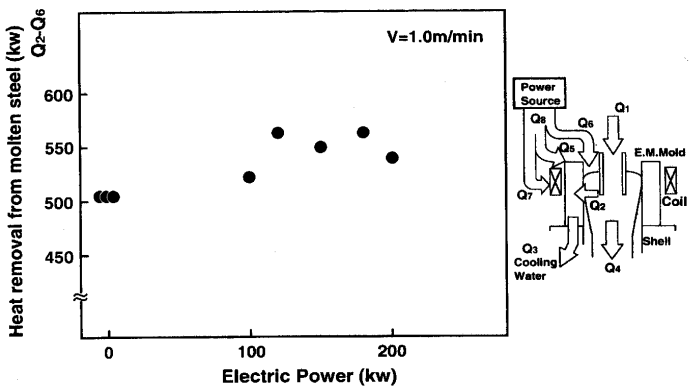


Fig. 11. Relation between electric power and heat removal from charge in the mold.

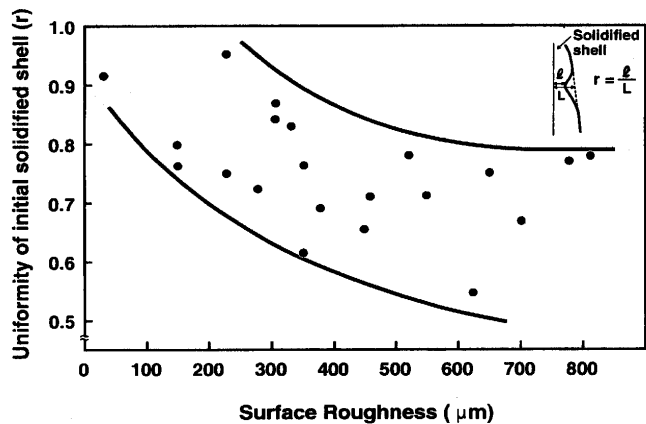


Fig. 12. Relation between surface roughness and uniformity of initial solidified shell.

固の不均一度と鋳片表面粗度との関係を示す。凝固の不均一度は図中に示すように正常部と凝固遅れ部の凝固殻厚の比で定義している。かなりばらつきはあるものの鋳片表面粗度が浅くなるほど凝固殻の不均一は軽減される傾向があることがわかる。すなわち電磁界鋳造によって鋳片表面粗度を改善できれば凝固の不均一に対しても効果があると考えられる。

5・5 オッシレーションマーク直下の爪の生成状況

鋳造速度、ビレットサイズおよび電源出力を変化させた時のオッシレーションマーク直下の爪の発生頻度を調査した結果を Fig.13 に示す。爪の有無については十数個のオッシレーションマーク直下の凝固組織を現出させることによって調査した。この結果、電磁力を付加しない場合、かなりの頻度で爪の発生が認められるが電磁力を印加することにより爪の発生頻度は顕著に減少し、80kW で 0 になる。爪の生成原因については、ネガティブストリップ期に溶鋼側へ押し曲げられた剛性の高いシェル先端に溶鋼がオーバーフローして生じると言われているが¹³⁾、電磁力の印加によって初期凝固殻に影響をおよぼしにくくすること、電磁場による溶鋼および凝固殻の加熱および電磁力による溶鋼保持部の存在に

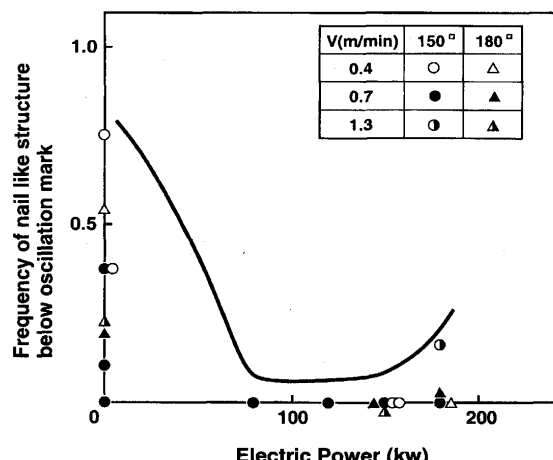


Fig. 13. Effect of electric power on appearance frequency of nail like structure below oscillation mark.

よって初期凝固殻開始点がメニスカス下部に存在するため湯面変動に影響されにくくなることが考えられる。

また電源出力が大きい180kWで爪の生成頻度が少し高くなっているのは、電磁力による誘発された流れにより湯面の乱れが大きくなつたためであると考えられる。

6. 結言

分割銅鋳型と高周波磁場を用いた0.12%の炭素鋼の電磁界鋳造を行い、以下の結果が得られた。

(1) 高周波磁場を初期凝固殻に作用させることにより鋳片表面粗度の大幅な改善、およびオッショレーションマーク直下の爪の発生頻度の顕著な低減が可能となった。また電磁力については最適値が存在することがわかった。

(2) 鋳片表面性状の改善には初期凝固殻に作用する圧力分布が重要であり、軟接触を実現するためにはメニスカスとコイルの位置関係が重要な因子となる。

(3) 電源出力を増加すると凝固初期のシェル厚は薄くなり、表面粗度の減少とともに初期凝固殻の均一度も改善さ

れる。しかしまクロ的に見れば、電磁界鋳型内の凝固定数は付加電力の大きさにかかわらず顕著な変化は認められない。

記号

L : 代表長さ (m)

μ : 透磁率 ($N \cdot A^{-2}$)

σ : 導電率 ($\Omega^{-1} \cdot m^{-1}$)

ω : 角周波数 (rad/s)

$$\delta = \sqrt{\frac{2}{\mu \sigma \omega}}$$

Q1 : 注湯流によって鋳型に供給される熱量 (W)

Q2 : 鋳型内鋳片から電磁界鋳型への抜熱量 (W)

Q3 : 電磁界鋳型から鋳型冷却水への抜熱量 (W)

Q4 : 電磁界鋳型から鋳片が持ち去る熱量 (W)

Q5 : 電磁界鋳型の誘導発熱量 (W)

Q6 : 電磁界鋳型内鋳片発熱量 (W)

Q7 : コイル、ケーブル、電源での発熱損 (W)

Q8 : 電源出力 (W)

文献

- 佐々健介, 李 延挙, 浅井滋生: 鉄と鋼, 179 (1993), p.1075
- 竹内栄一, 藤 健彦, 竹内英暦, 河合弘之, 松村省吾: 材料とプロセス, 6 (1993), p.1125
- 田中 努, 栗田興一, 黒田篤彦: 鉄と鋼, 178 (1992), p.572
- 大迫隆志, 中田正之, 小松政美: 材料とプロセス, 5 (1992), p.984
- D.G.Goodrich, J.L.Dassel and R.M.Shogren: J.Met., (1982), p.45
- J.L.Meyer, J.Szekely, N.EL-Kaddar and C.Vives: Metall Trans.B, 18B (1987), p.539
- Z.N.Getselev: J.Met., (1971), p.38
- C.H.Vives: Light Metals, (1987), p.769
- M.Morishita, H.Nakata, K.Ayata, S.Koyama, Y.Hosokawa and H.Fukumoto: Proc. of TMS Annual Meeting, San-Diego, (1992), p.267
- 第129, 130回西山記念技術講座(日本鉄鋼協会編), (1988), p.54
- 実開平5-76653
- H.Nakata and J.Etay: ISIJ International, 132 (1992), p.521
- 竹内栄一, J.K.Brimacombe: 製鉄研究, 1324 (1987), p.59